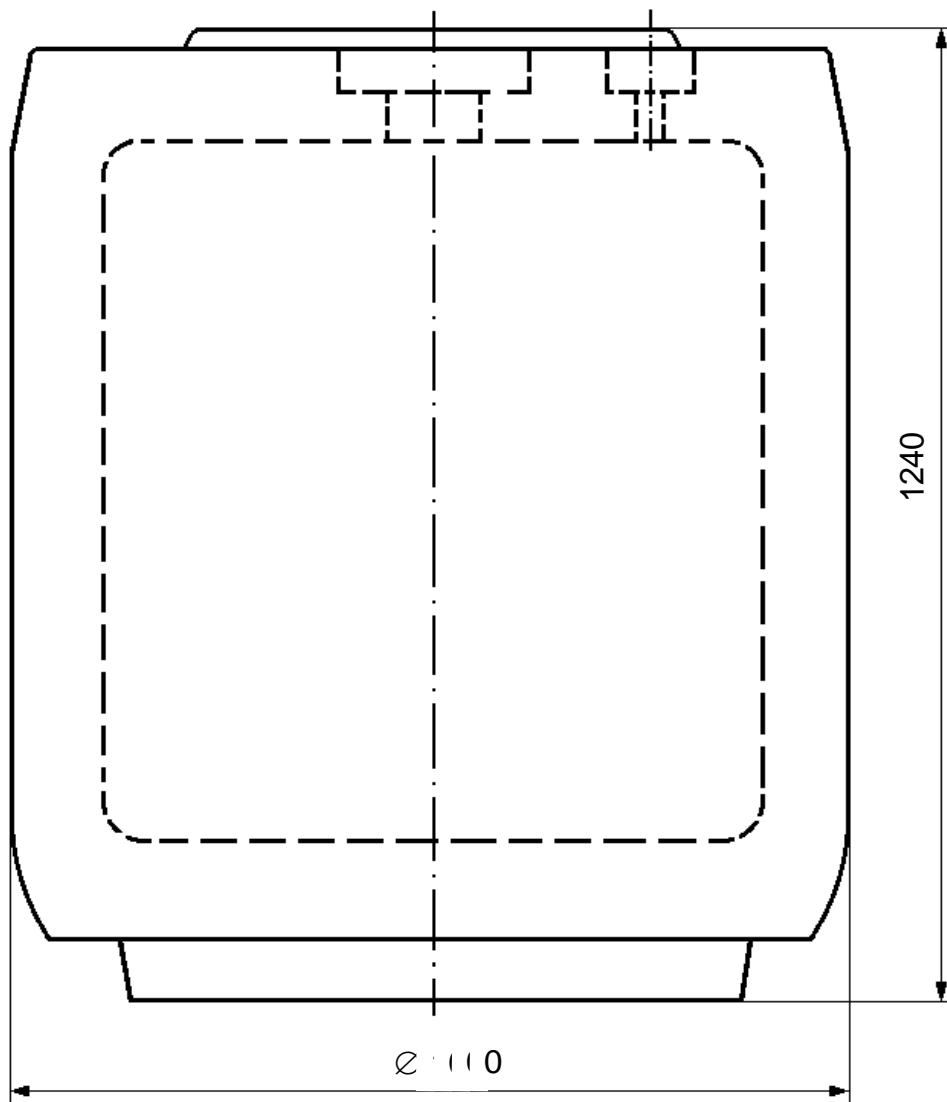


Höhe	1500 mm
Durchmesser	1060 mm
Bruttovolumen	1,3 m ³

Höhe beim Typ II/KfK: 1370 mm Bruttovolumen beim Typ II/KfK: 1,2 m³

Konrad	Standardisierte Behälter für radioaktive Abfälle	Anhang I
BfS	Gussbehälter Typ II Beispiel: eingesetzter/aufgelegter verschraubter Deckel mit Öffnungen	Abbildung 5



Höhe	1240 mm
Durchmesser	1000 mm
Bruttovolumen	1,0 m ³

Konrad	Standardisierte Behälter für radioaktive Abfälle	Anhang I
BfS	Gussbehälter Typ III Beispiel: Öffnungen im Kopfbereich	Abbildung 6

Radionuklid	Betonbehälter		Gussbehälter			
	Typ I	Typ II	Typ I	Typ II	Typ II/KfK	Typ III
H-3	9,1E+14	9,9E+14	5,8E+14	9,9E+14	9,1E+14	7,8E+14
C-14	1,1E+13	1,2E+13	7,2E+12	1,2E+13	1,1E+13	9,7E+12
Na-22	3,6E+12	4,0E+12	2,3E+12	4,0E+12	3,6E+12	3,1E+12
S-35	1,3E+14	1,4E+14	8,2E+13	1,4E+14	1,3E+14	1,1E+14
Ca-45	2,2E+14	2,3E+14	1,4E+14	2,3E+14	2,2E+14	1,8E+14
Sc-46	1,0E+13	1,1E+13	6,6E+12	1,1E+13	1,0E+13	8,9E+12
V-49	2,9E+15	3,2E+15	1,9E+15	3,2E+15	2,9E+15	2,5E+15
Cr-51	1,1E+15	1,2E+15	6,8E+14	1,2E+15	1,1E+15	9,1E+14
Mn-54	1,5E+13	1,7E+13	9,7E+12	1,7E+13	1,5E+13	1,3E+13
Co-57	1,6E+13	1,8E+13	1,0E+13	1,8E+13	1,6E+13	1,4E+13
Co-58	2,4E+13	2,6E+13	1,5E+13	2,6E+13	2,4E+13	2,0E+13
Fe-59	1,9E+13	2,1E+13	1,2E+13	2,1E+13	1,9E+13	1,6E+13
Ni-59	4,9E+13	5,4E+13	3,1E+13	5,4E+13	4,9E+13	4,2E+13
Zn-65	2,4E+13	2,6E+13	1,5E+13	2,6E+13	2,4E+13	2,0E+13
Se-79	8,8E+12	9,6E+12	5,6E+12	9,6E+12	8,8E+12	7,5E+12
Kr-85	2,2E+13	2,3E+13	1,4E+13	2,3E+13	2,2E+13	1,8E+13
Sr-89	4,9E+13	5,3E+13	3,1E+13	5,3E+13	4,9E+13	4,1E+13
Sr-90	3,4E+12	3,7E+12	2,1E+12	3,7E+12	3,4E+12	2,9E+12
Nb-93m	1,7E+14	1,8E+14	1,1E+14	1,8E+14	1,7E+14	1,4E+14
Mo-93	4,0E+13	4,4E+13	2,5E+13	4,4E+13	4,0E+13	3,4E+13
Zr-93	5,4E+12	5,9E+12	3,4E+12	5,9E+12	5,4E+12	4,6E+12
Nb-95	4,2E+13	4,6E+13	2,7E+13	4,6E+13	4,2E+13	3,6E+13
Zr-95	2,9E+13	3,2E+13	1,9E+13	3,2E+13	2,9E+13	2,5E+13
Tc-99	3,9E+12	4,3E+12	2,5E+12	4,3E+12	3,9E+12	3,3E+12
Ru-103	5,7E+13	6,2E+13	3,6E+13	6,2E+13	5,7E+13	4,8E+13
Ru-106	7,2E+12	7,9E+12	4,6E+12	7,9E+12	7,2E+12	6,2E+12
Pd-107	2,7E+13	2,9E+13	1,7E+13	2,9E+13	2,7E+13	2,3E+13
Cd-109	1,0E+14	1,1E+14	6,6E+13	1,1E+14	1,0E+14	8,8E+13
Ag-110m	5,0E+12	5,4E+12	3,2E+12	5,4E+12	5,0E+12	4,3E+12
Cd-113m	1,7E+13	1,9E+13	1,1E+13	1,9E+13	1,7E+13	1,5E+13
I-125	1,5E+14	1,6E+14	9,3E+13	1,6E+14	1,5E+14	1,2E+14
Sb-125	1,3E+13	1,4E+13	8,0E+12	1,4E+13	1,3E+13	1,1E+13
Te-125m	1,9E+14	2,0E+14	1,2E+14	2,0E+14	1,9E+14	1,6E+14
I-129	3,4E+12	3,7E+12	2,2E+12	3,7E+12	3,4E+12	2,9E+12
Ba-133	1,0E+13	1,1E+13	6,6E+12	1,1E+13	1,0E+13	8,9E+12
Cs-134	5,5E+12	6,0E+12	3,5E+12	6,0E+12	5,5E+12	4,7E+12
Cs-135	4,7E+12	5,1E+12	3,0E+12	5,1E+12	4,7E+12	4,0E+12
Ce-144	9,8E+12	1,1E+13	6,2E+12	1,1E+13	9,8E+12	8,3E+12

Tabelle 6: Aktivitätswerte für weitere Radionuklide, die aus der Analyse zur thermischen Beeinflussung des Wirtsgesteins resultieren. Angaben in Bq pro Abfallgebinde.

Radionuklid	Betonbehälter		Gussbehälter			
	Typ I	Typ II	Typ I	Typ II	Typ II/KfK	Typ III
Pm-147	1,4E+14	1,6E+14	9,1E+13	1,6E+14	1,4E+14	1,2E+14
Sm-151	1,3E+14	1,4E+14	8,2E+13	1,4E+14	1,3E+14	1,1E+14
Eu-152	3,9E+12	4,3E+12	2,5E+12	4,3E+12	3,9E+12	3,4E+12
Eu-154	3,9E+12	4,2E+12	2,5E+12	4,2E+12	3,9E+12	3,3E+12
Eu-155	5,7E+13	6,2E+13	3,6E+13	6,2E+13	5,7E+13	4,9E+13
Hf-175	4,0E+13	4,3E+13	2,5E+13	4,3E+13	4,0E+13	3,4E+13
Hf-181	3,0E+13	3,3E+13	1,9E+13	3,3E+13	3,0E+13	2,6E+13
Ta-182	1,3E+13	1,4E+13	8,1E+12	1,4E+13	1,3E+13	1,1E+13
Hg-203	6,0E+13	6,5E+13	3,8E+13	6,5E+13	6,0E+13	5,1E+13
Bi-210	1,0E+14	1,1E+14	6,4E+13	1,1E+14	1,0E+14	8,6E+13
Po-210	3,3E+12	3,6E+12	2,1E+12	3,6E+12	3,3E+12	2,8E+12
Bi-214	5,6E+13	6,0E+13	3,5E+13	6,0E+13	5,6E+13	4,7E+13
Pb-214	2,2E+14	2,4E+14	1,4E+14	2,4E+14	2,2E+14	1,9E+14
Rn-222	1,5E+13	1,7E+13	9,8E+12	1,7E+13	1,5E+13	1,3E+13
Ra-223	4,7E+12	5,1E+12	3,0E+12	5,1E+12	4,7E+12	4,0E+12
Ra-224	1,1E+13	1,2E+13	7,2E+12	1,2E+13	1,1E+13	9,7E+12
Th-227	2,6E+12	2,8E+12	1,6E+12	2,8E+12	2,6E+12	2,2E+12
Ac-228	8,2E+13	8,9E+13	5,2E+13	8,9E+13	8,2E+13	7,0E+13
Th-228	2,7E+11	2,9E+11	1,7E+11	2,9E+11	2,7E+11	2,3E+11
Th-231	1,3E+15	1,4E+15	8,0E+14	1,4E+15	1,3E+15	1,1E+15
U-232	6,5E+10	7,1E+10	4,1E+10	7,1E+10	6,5E+10	5,5E+10
Pa-233	1,7E+14	1,8E+14	1,1E+14	1,8E+14	1,7E+14	1,4E+14
Pa-234m	1,4E+14	1,6E+14	9,1E+13	1,6E+14	1,4E+14	1,2E+14
Pa-234	4,9E+13	5,4E+13	3,1E+13	5,4E+13	4,9E+13	4,2E+13
Th-234	2,8E+13	3,1E+13	1,8E+13	3,1E+13	2,8E+13	2,4E+13
U-236	6,2E+10	6,8E+10	4,0E+10	6,8E+10	6,2E+10	5,3E+10
Pu-236	1,4E+12	1,5E+12	8,7E+11	1,5E+12	1,4E+12	1,2E+12
Pu-239	8,1E+10	8,8E+10	5,1E+10	8,8E+10	8,1E+10	6,9E+10
Pu-240	1,0E+11	1,1E+11	6,5E+10	1,1E+11	1,0E+11	8,8E+10
Pu-241	6,7E+12	7,3E+12	4,3E+12	7,3E+12	6,7E+12	5,7E+12
Am-241	2,2E+11	2,4E+11	1,4E+11	2,4E+11	2,2E+11	1,9E+11
Pu-242	6,4E+10	7,0E+10	4,1E+10	7,0E+10	6,4E+10	5,5E+10
Cm-242	3,1E+12	3,4E+12	2,0E+12	3,4E+12	3,1E+12	2,6E+12
Am-243	8,4E+10	9,1E+10	5,3E+10	9,1E+10	8,4E+10	7,1E+10
Cm-243	6,5E+11	7,0E+11	4,1E+11	7,0E+11	6,5E+11	5,5E+11
Am-244	1,4E+14	1,5E+14	8,6E+13	1,5E+14	1,4E+14	1,2E+14
Cm-244	8,0E+11	8,7E+11	5,0E+11	8,7E+11	8,0E+11	6,8E+11
Cm-246	1,1E+11	1,1E+11	6,7E+10	1,1E+11	1,1E+11	9,0E+10

Tabelle 6 (Fortsetzung): Aktivitätswerte für weitere Radionuklide, die aus der Analyse zur thermischen Beeinflussung des Wirtsgesteins resultieren. Angaben in Bq pro Abfallgebinde.